

Школа професора В.Г.Макаца
(Україна - prof.Makats@gmail.com)



ЛЕКЦІЯ–4 (4-та проблема функціональної вегетології)

МАКАЦ В.Г.

"АКУПУНКТУРНИ" КАНАЛИ ЯК БІОФІЗИЧНА РЕАЛЬНІСТЬ ЧЖЕНЬ-ЦЗЮ ТЕРАПІЇ І ФУНКЦІОНАЛЬНОЇ ВЕГЕТОЛОГІЇ.

Експерт вищого рівня НАН України, д.м.н., професор (Європейський центр післядипломної освіти ГО "Українська Національна академія природознавства").

Принципово важлива проблема, яка на протязі багатьох віків залишалася Східною таємницею. Досить згадати, що на прохання вчених університету Лома Лінда (які жили в Китаї і в наш час досліджували цю тему) показати їм меридіани на тілі людини, реакція здивованих китайських Вчителів була однозначною:

"Як ми можемо це зробити?!... Адже "акупунктурні канали" це умовні лінії (меридіани), на протязі яких топографічно розташовані певні групи точок для акупунктури, акупресури та температурного впливу?"...

Проте сьогодні ситуація докорінно змінилася. В Україні розроблена методологія, яка дозволила ідентифікувати таємничі "акупунктурні канали", доказати їх біофізичну реальність, теоретичні помилки і вегетативну спрямованість....

4.1. МЕТОДОЛОГІЯ ВІДКРИТТЯ "АКУПУНКТУРНИХ КАНАЛІВ". Легенди про "акупунктурні канали", що на протязі віків розділяли терапевтичну філософію Сходу і Заходу, сьогодні перестали бути таємницею! Методологія їх ідентифікації на основі функціонально-вегетативної діагностики (ФВД) дозволила доказати біофізичну реальність "таємничих каналів" і відкрити невідому раніше "Функціонально-вегетативну систему людини".

Перед ідентифікацією "каналів" згадаємо їх французьку (ФН) і міжнародну (МАН) класифікацію за номенклатурою ВООЗ...

Традиційний канал	МАН *	ФН	Традиційний канал	МАН *	ФН
Легені	LU	P	Сечовий міхур	BL	V
Товстий кишковик	LI	GI	Нирки	KI	R
Шлунок	ST	E	Перикард	PC	MC
Селезінка - підшлункова залоза	SP	RP	Трійний обгрівач	TE	TR
Серце	HT	C	Жовчний міхур	GB	VB
Тонкий кишковик	SI	IG	Печінка	LR	F

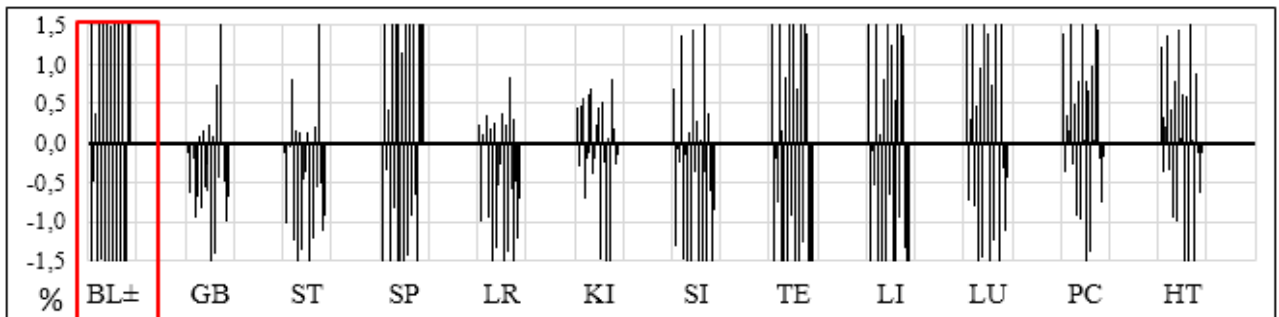
*МАН – міжнародна номенклатура ВООЗ;
ФН – її французький аналог.

Приклад-1. Для розуміння методології "Ідентифікації акупунктурних каналів" розглянемо результати 23-х ФВД (за методом В.Г. Макаца). Послідовність їх розташування (табл. і мал. 4.1) наведена в черговості проведених діагностик. Тому активність обраного каналу BL хаотична (±) і супроводжується відповідною активністю залежних "акупунктурних каналів".

Таблиця 4.1

Упорядкована по черговості проведених ФВД (хаотична по активності $\pm BL$).

№	$\pm BL$	GB	ST	SP	LR	KI	SI	TE	LI	LU	PC	HT
1	-6,42	-0,13	-0,12	-2,48	0,23	0,46	0,70	1,86	1,71	1,78	1,39	1,22
2	5,48	-0,64	-1,01	4,17	-0,99	-0,30	-1,32	-1,95	-1,79	-0,74	-0,38	-0,36
3	-0,50	-0,02	0,00	-0,34	0,11	0,47	-0,09	-0,19	-0,10	0,31	0,35	0,32
4	0,39	-0,20	-0,06	0,43	-0,03	0,57	-0,26	-0,76	-0,53	0,14	0,16	0,22
5	-8,32	-0,94	0,82	-2,61	0,35	-0,70	1,38	3,24	1,70	1,83	1,98	1,37
6	6,53	-0,69	-1,24	4,03	-0,95	-0,21	-1,48	-2,23	-2,18	-0,80	-0,28	-0,34
7	-1,47	0,09	0,15	-0,83	0,19	0,61	-0,14	0,17	0,11	0,48	0,50	0,43
8	9,47	-0,82	-1,75	6,80	-1,69	-0,13	-2,65	-2,77	-2,71	-1,62	-0,92	-0,95
9	-3,46	0,15	0,14	-1,83	0,27	0,70	0,14	0,83	0,81	0,95	0,79	0,79
10	8,45	-0,57	-1,36	5,38	-1,33	-0,40	-1,85	-2,49	-2,16	-1,45	-0,97	-1,00
11	-7,34	-0,62	-0,47	-3,64	-0,55	-0,20	1,45	3,43	2,95	2,20	1,59	1,44
12	1,49	-0,28	-0,37	1,16	-0,27	0,23	-0,38	-0,93	-0,67	-0,01	0,05	0,07
13	-4,45	0,23	0,13	-2,30	0,39	0,44	0,28	1,55	1,26	1,39	0,80	0,62
14	15,5	-1,67	-2,56	9,21	-2,63	-1,48	-1,73	-3,48	-3,34	-2,78	-2,32	-2,48
15	-2,49	0,10	0,01	-1,43	0,23	0,52	0,03	0,70	0,54	0,73	0,66	0,60
16	10,5	-1,40	-1,22	6,44	-1,38	-0,24	-2,41	-2,77	-2,85	-1,25	-1,39	-1,81
17	-9,33	0,75	0,21	-0,92	0,85	-1,86	2,74	1,60	1,65	2,02	0,98	1,62
18	2,46	-0,43	-0,57	1,68	-0,58	0,06	-0,36	-1,27	-0,96	0,02	0,05	0,03
19	-10,0	2,91	3,85	-0,67	-1,69	-2,89	-3,46	4,87	7,42	-6,08	7,81	-1,63
20	-5,44	0,02	-0,03	-2,63	0,30	0,82	0,38	1,39	1,37	1,75	1,45	0,88
21	3,45	-0,50	-0,52	2,23	-0,50	0,18	-0,60	-1,65	-1,33	-0,31	-0,20	-0,12
22	7,48	-1,00	-1,11	5,10	-1,22	-0,28	-1,87	-2,34	-2,07	-1,12	-0,75	-0,63
23	4,47	-0,68	-0,93	3,12	-0,71	-0,15	-0,86	-1,81	-1,54	-0,43	-0,18	-0,12



Мал.4.1 В даній ситуації ідентифікація "акупунктурних каналів **неможлива**...

Стало зрозумілим, що принциповим моментом "ідентифікації системної залежності" стане вертикальна упорядкованість активності $\pm BL$ (по збудженню, або пригніченню), яка обумовить відповідне горизонтальне розташування відповідно залежних системних рядів. Наведемо окремі приклади використання розробленої методології...

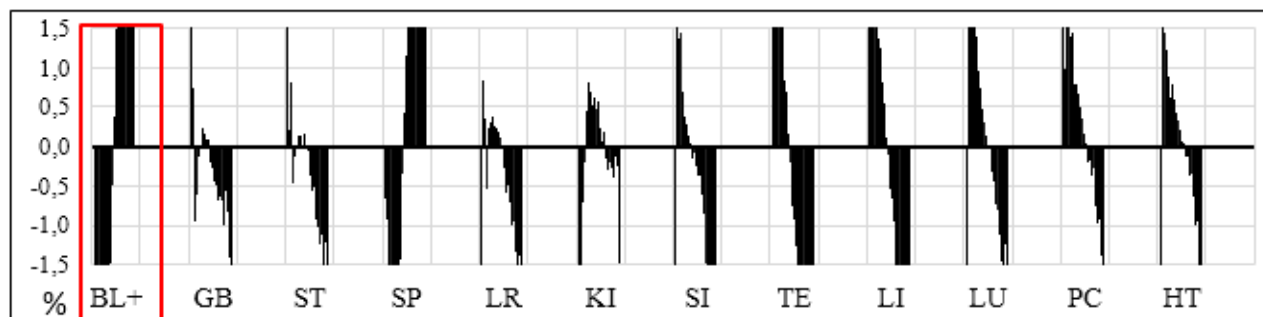
Приклад-2. На основі базової табл.4.1 "акупунктурний канал" BL впорядкуємо по мірі зростання його активності і, вперше в сучасній історії, отримаємо беззаперечні докази біофізичної реальності системної залежності (табл. і мал. 4.2)!

Виникає питання про реальність міжсистемної залежності і можливість її подальшої ідентифікації...

Таблиця 4.2

Упорядкована по зростанню активності "акупунктурного каналу" **BL**

№	±BL	GB	ST	SP	LR	KI	SI	TE	LI	LU	PC	HT
19	-10,0	2,91	3,85	-0,67	-1,69	-2,89	-3,46	4,87	7,42	-6,08	7,81	-10,0
17	-9,33	0,75	0,21	-0,92	0,85	-1,86	2,74	1,60	1,65	2,02	1,98	-9,33
5	-8,32	-0,94	0,82	-2,61	0,35	-0,70	1,38	3,24	1,70	1,83	1,59	-8,32
11	-7,34	-0,62	-0,47	-3,64	-0,55	-0,20	1,45	3,43	2,95	2,20	1,45	-7,34
1	-6,42	-0,13	-0,12	-2,48	0,23	0,46	0,70	1,86	1,71	1,78	1,39	-6,42
20	-5,44	0,02	-0,03	-2,63	0,30	0,82	0,38	1,39	1,37	1,75	0,98	-5,44
13	-4,45	0,23	0,13	-2,30	0,39	0,44	0,28	1,55	1,26	1,39	0,8	-4,45
9	-3,46	0,15	0,14	-1,83	0,27	0,70	0,14	0,83	0,81	0,95	0,79	-3,46
15	-2,49	0,10	0,01	-1,43	0,23	0,52	0,03	0,70	0,54	0,73	0,66	-2,49
7	-1,47	0,09	0,15	-0,83	0,19	0,61	-0,14	0,17	0,11	0,48	0,5	-1,47
3	-0,50	-0,02	0,00	-0,34	0,11	0,47	-0,09	-0,19	-0,10	0,31	0,35	-0,50
4	0,39	-0,20	-0,06	0,43	-0,03	0,57	-0,26	-0,76	-0,53	0,14	0,16	0,39
12	1,49	-0,28	-0,37	1,16	-0,27	0,23	-0,38	-0,93	-0,67	-0,01	0,05	1,49
18	2,46	-0,43	-0,57	1,68	-0,58	0,06	-0,36	-1,27	-0,96	0,02	0,05	2,46
21	3,45	-0,50	-0,52	2,23	-0,50	0,18	-0,60	-1,65	-1,33	-0,31	-0,18	3,45
23	4,47	-0,68	-0,93	3,12	-0,71	-0,15	-0,86	-1,81	-1,54	-0,43	-0,2	4,47
2	5,48	-0,64	-1,01	4,17	-0,99	-0,30	-1,32	-1,95	-1,79	-0,74	-0,28	5,48
6	6,53	-0,69	-1,24	4,03	-0,95	-0,21	-1,48	-2,23	-2,18	-0,80	-0,38	6,53
22	7,48	-1,00	-1,11	5,10	-1,22	-0,28	-1,87	-2,34	-2,07	-1,12	-0,75	7,48
10	8,45	-0,57	-1,36	5,38	-1,33	-0,40	-1,85	-2,49	-2,16	-1,45	-0,92	8,45
8	9,47	-0,82	-1,75	6,80	-1,69	-0,13	-2,65	-2,77	-2,71	-1,62	-0,97	9,47
16	10,5	-1,40	-1,22	6,44	-1,38	-0,24	-2,41	-2,77	-2,85	-1,25	-1,39	10,5
14	15,5	-1,67	-2,56	9,21	-2,63	-1,48	-1,73	-3,48	-3,34	-2,78	-2,32	15,5

Мал.4.2 Ідентифікація "каналів" при упорядкованому **+BL** можлива!

Виникає питання про реальність ідентифікації системної залежності у випадку пригнічення активності каналу **BL**?

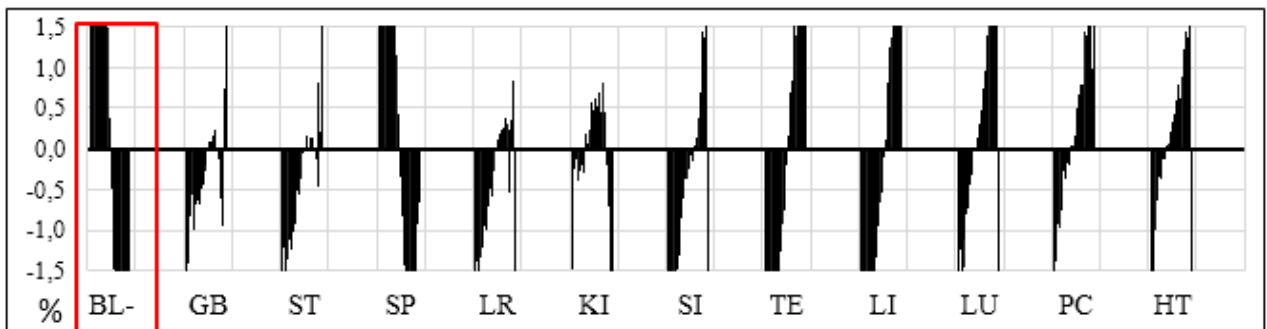
Приклад-3. На основі базової табл.4.1 упорядкуємо "акупунктурний канал" **BL** по мірі пригнічення його активності (табл.4.3), що обумовить горизонтальне розташування відповідно залежних системних рядів та системну "ідентифікацію акупунктурних каналів" (мал.4.3)!

Таблиця 4.3

Результати таблиці 3.1 упорядковані по пригніченню активності каналу **BL**.

№	-BL	GB	ST	SP	LR	KI	SI	TE	LI	LU	PC	HT
14	15,5	-1,67	-2,56	9,21	-2,63	-1,48	-1,73	-3,48	-3,34	-2,78	-2,32	-2,48
16	10,5	-1,40	-1,22	6,44	-1,38	-0,24	-2,41	-2,77	-2,85	-1,25	-1,39	-1,81

8	9,47	-0,82	-1,75	6,80	-1,69	-0,13	-2,65	-2,77	-2,71	-1,62	-0,92	-0,95
10	8,45	-0,57	-1,36	5,38	-1,33	-0,40	-1,85	-2,49	-2,16	-1,45	-0,97	-1,00
22	7,48	-1,00	-1,11	5,10	-1,22	-0,28	-1,87	-2,34	-2,07	-1,12	-0,75	-0,63
6	6,53	-0,69	-1,24	4,03	-0,95	-0,21	-1,48	-2,23	-2,18	-0,80	-0,28	-0,34
2	5,48	-0,64	-1,01	4,17	-0,99	-0,30	-1,32	-1,95	-1,79	-0,74	-0,38	-0,36
23	4,47	-0,68	-0,93	3,12	-0,71	-0,15	-0,86	-1,81	-1,54	-0,43	-0,18	-0,12
21	3,45	-0,50	-0,52	2,23	-0,50	0,18	-0,60	-1,65	-1,33	-0,31	-0,20	-0,12
18	2,46	-0,43	-0,57	1,68	-0,58	0,06	-0,36	-1,27	-0,96	0,02	0,05	0,03
12	1,49	-0,28	-0,37	1,16	-0,27	0,23	-0,38	-0,93	-0,67	-0,01	0,05	0,07
4	0,39	-0,20	-0,06	0,43	-0,03	0,57	-0,26	-0,76	-0,53	0,14	0,16	0,22
3	-0,50	-0,02	0,00	-0,34	0,11	0,47	-0,09	-0,19	-0,10	0,31	0,35	0,32
7	-1,47	0,09	0,15	-0,83	0,19	0,61	-0,14	0,17	0,11	0,48	0,50	0,43
15	-2,49	0,10	0,01	-1,43	0,23	0,52	0,03	0,70	0,54	0,73	0,66	0,60
9	-3,46	0,15	0,14	-1,83	0,27	0,70	0,14	0,83	0,81	0,95	0,79	0,79
13	-4,45	0,23	0,13	-2,30	0,39	0,44	0,28	1,55	1,26	1,39	0,80	0,62
20	-5,44	0,02	-0,03	-2,63	0,30	0,82	0,38	1,39	1,37	1,75	1,45	0,88
1	-6,42	-0,13	-0,12	-2,48	0,23	0,46	0,70	1,86	1,71	1,78	1,39	1,22
11	-7,34	-0,62	-0,47	-3,64	-0,55	-0,20	1,45	3,43	2,95	2,20	1,59	1,44
5	-8,32	-0,94	0,82	-2,61	0,35	-0,70	1,38	3,24	1,70	1,83	1,98	1,37
17	-9,33	0,75	0,21	-0,92	0,85	-1,86	2,74	1,60	1,65	2,02	0,98	1,62
19	-10,0	2,91	3,85	-0,67	-1,69	-2,89	-3,46	4,87	7,42	-6,08	7,81	-1,63



Мал.4.3 Ідентифікація "каналів" при упорядкованому –**BL** можлива!

Але давайте на основі базових таблиць 3.1-3 розглянемо три варіанти їх біофізичної реальності на прикладах неупорядкованої активності (\pm), збудженні (+) та пригніченні (–) окремих традиційних "акупунктурних каналів", мал.3.1(1-12).

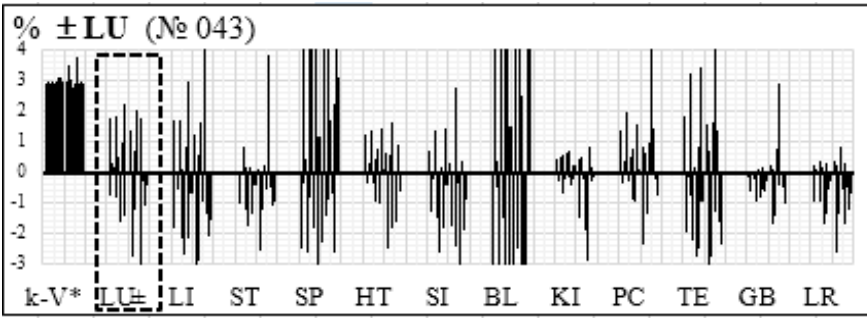
При цьому звертаємо особливу увагу на наступне!

Ідентифікація біофізичної реальності "акупунктурних каналів" проведена в групах з початковою "вегетативною рівновагою" (коефіцієнти вегетативної рівноваги в межах $kV=0,95-1,05$; 14.304 спостережень)...

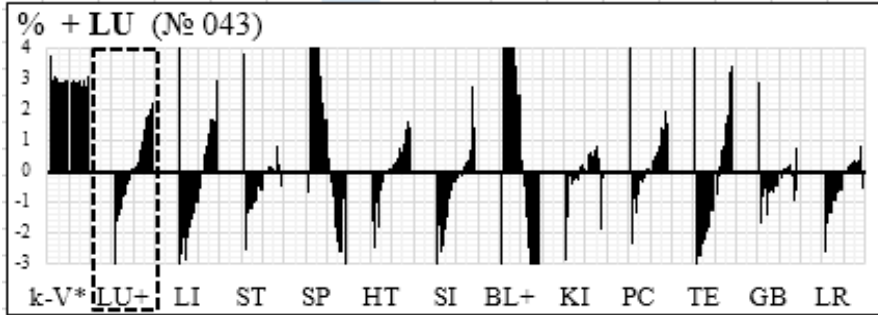
4.2. БІОФІЗИЧНА РЕАЛЬНІСТЬ ГПОТЕТИЧНИХ "АКУПУНКТУРНИХ КАНАЛІВ" (В УМОВАХ ВЕГЕТАТИВНОЇ РІВНОВАГИ)...

В умовах вегетативної рівноваги (при $kV=0,95-1,05$) біофізична реальність "акупунктурних каналів" і їх системна взаємозалежність не викликає сумніву. Системна різноспрямована активність біофізичних трансформацій однозначно указує на їх залежність від позитивної (+) і негативної (–) активності окремих функціональних систем і не потребує додаткових доказів...

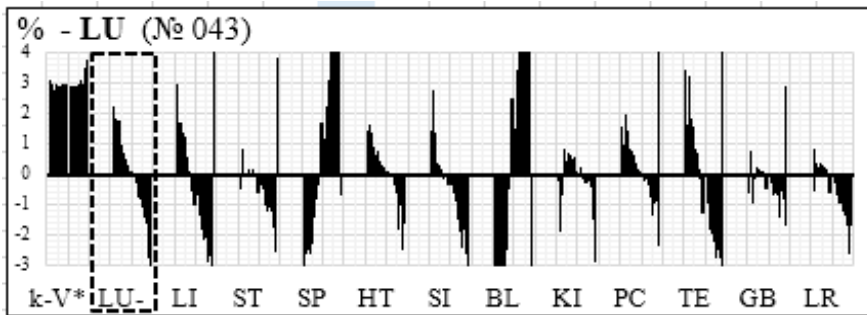
СИСТЕМНА ЗАЛЕЖНІСТЬ ВІД СПРЯМОВАНОЇ АКТИВНОСТІ LU, мал.4.2.1



Ідентифікація систем при $\pm LU$ неможлива

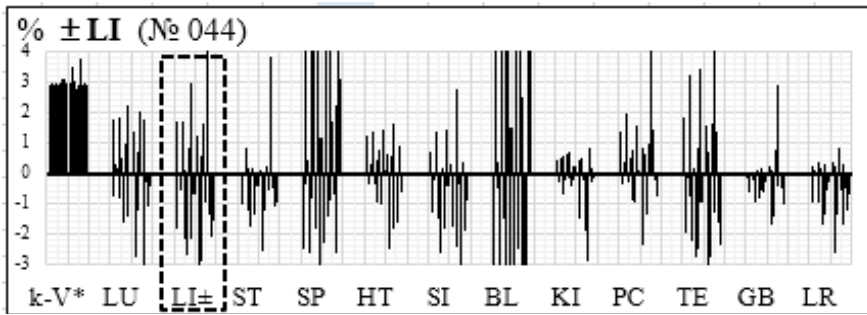


Ідентифікація системної залежності при $+ LU$

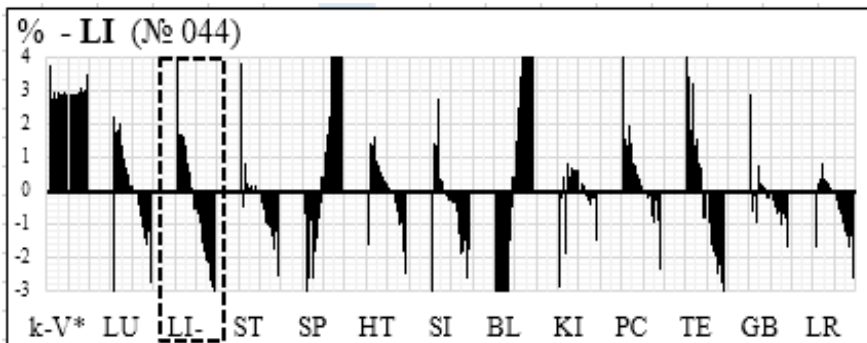


Ідентифікація системної залежності при $- LU$

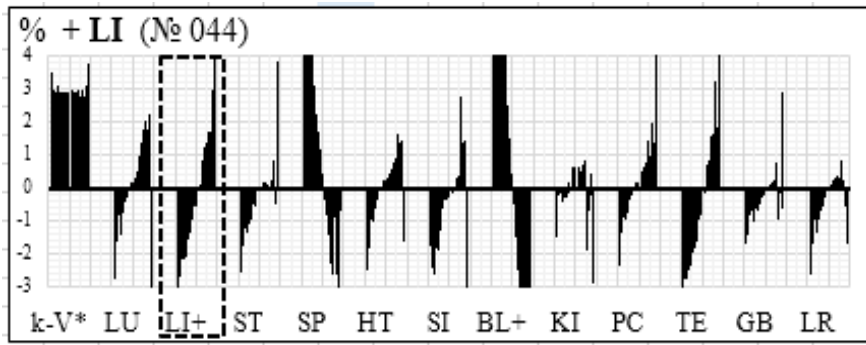
СИСТЕМНА ЗАЛЕЖНІСТЬ ВІД СПРЯМОВАНОЇ АКТИВНОСТІ LI, мал. 4.2.2



Ідентифікація систем при $\pm LI$ неможлива

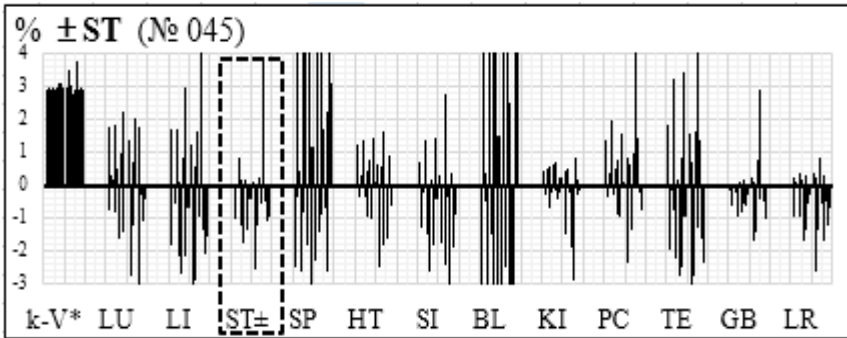


Ідентифікація системної залежності при $- LI$

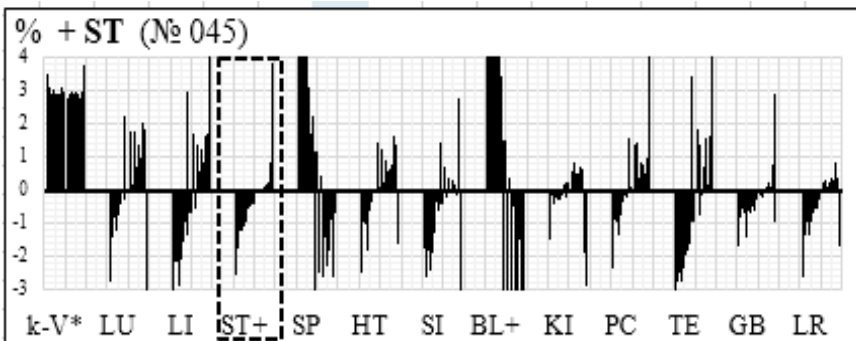


Ідентифікація системної залежності при **+ LI**

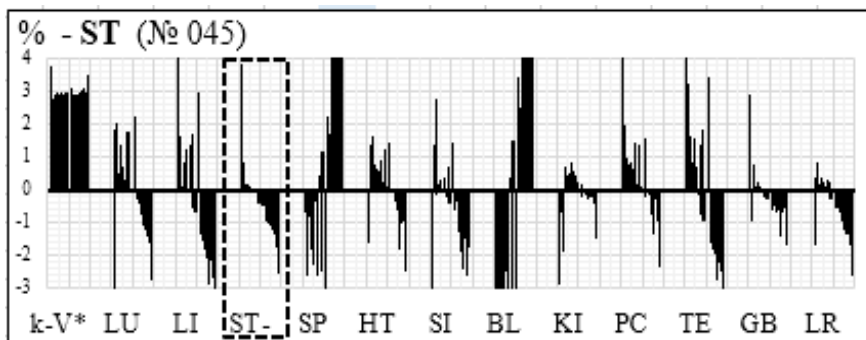
СИСТЕМНА ЗАЛЕЖНІСТЬ ВІД СПРЯМОВАНОЇ АКТИВНОСТІ ST, мал. 4.2.3



Ідентифікація систем при **± ST** неможлива

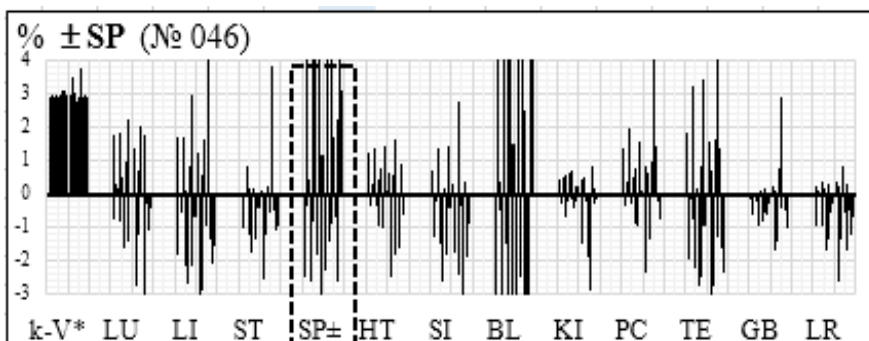


Ідентифікація системної залежності при **+ ST**

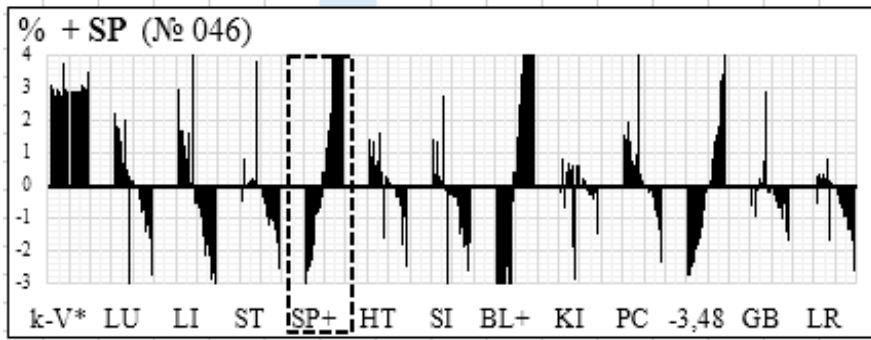


Ідентифікація системної залежності при **- ST**

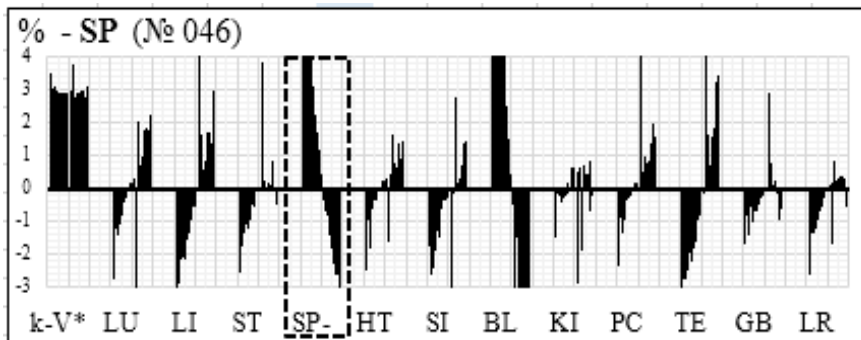
СИСТЕМНА ЗАЛЕЖНІСТЬ ВІД СПРЯМОВАНОЇ АКТИВНОСТІ SP, мал. 4.2.4



Ідентифікація систем при **± SP** неможлива

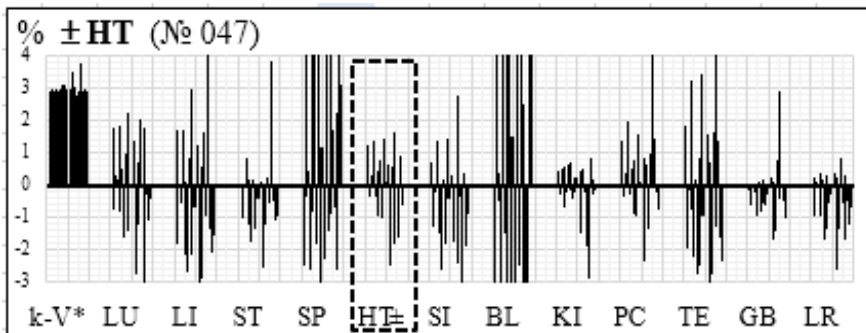


Ідентифікація системної залежності при + SP

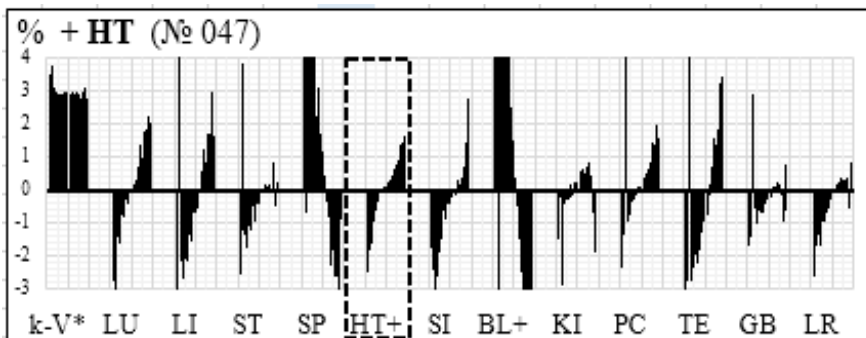


Ідентифікація системної залежності при -SP

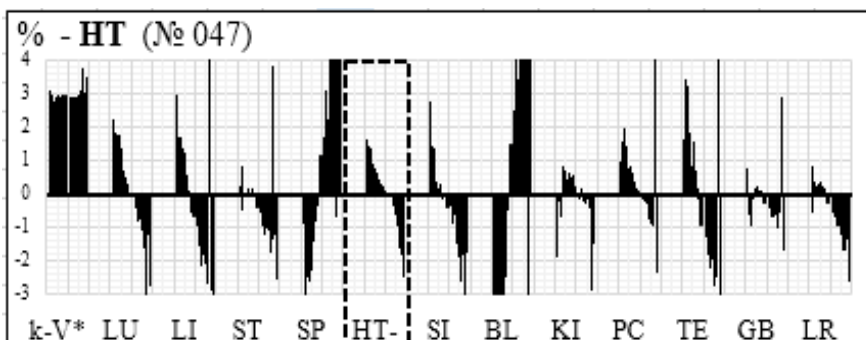
СИСТЕМНА ЗАЛЕЖНІСТЬ ВІД СПРЯМОВАНОЇ АКТИВНОСТІ НТ, мал. 4.2.5



Ідентифікація систем при ±HT неможлива

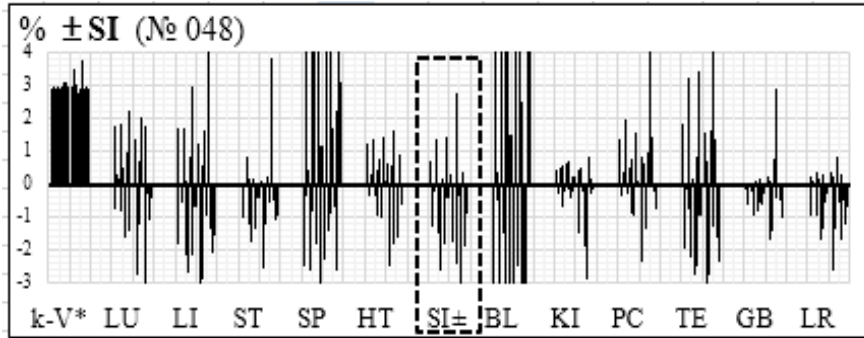


Ідентифікація системної залежності при +HT

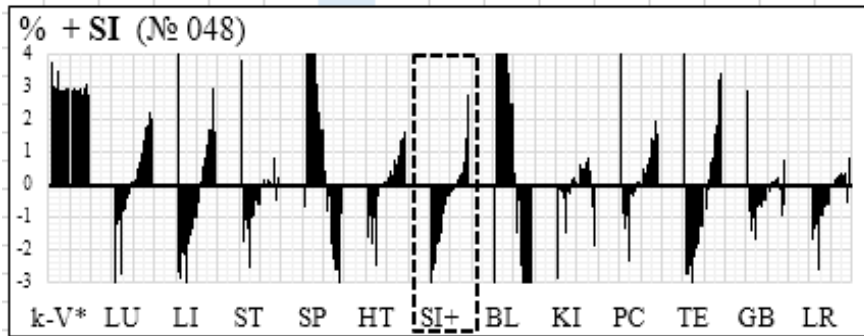


Ідентифікація системної залежності при -HT

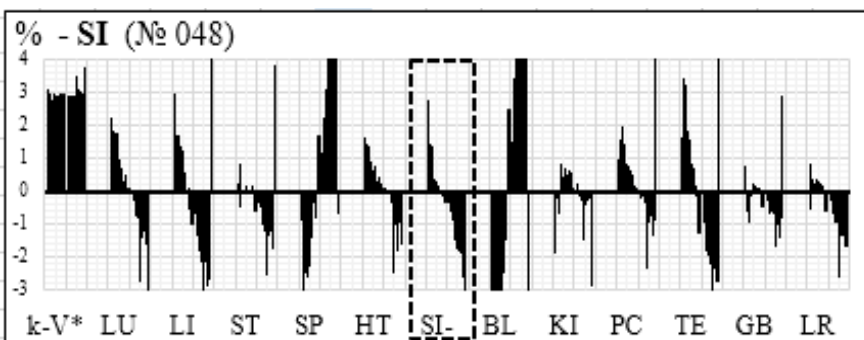
СИСТЕМНА ЗАЛЕЖНІСТЬ ВІД СПРЯМОВАНОЇ АКТИВНОСТІ SI, мал. 4.2.6



Ідентифікація систем при $\pm SI$ неможлива

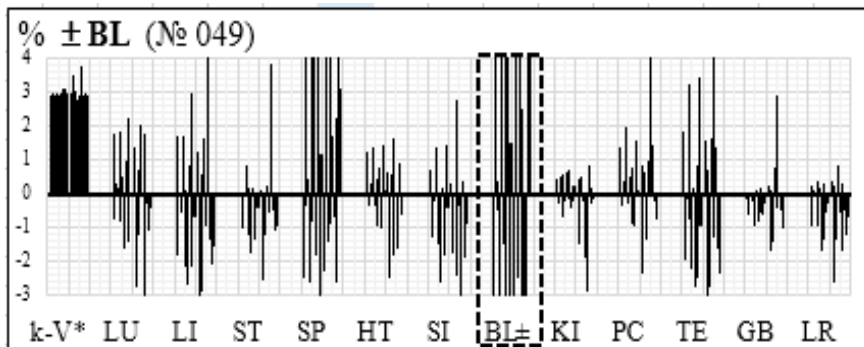


Ідентифікація системної залежності при $+ SI$

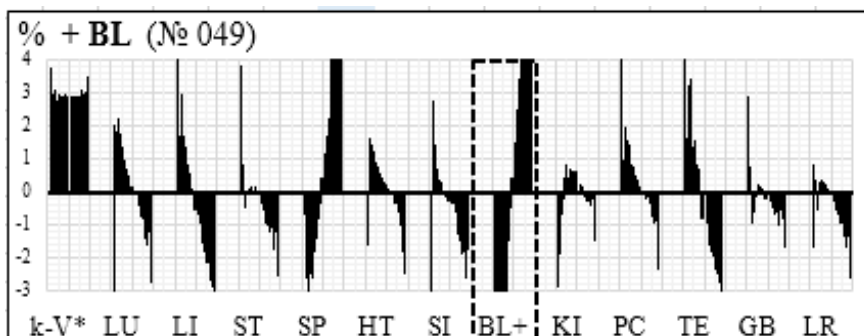


Ідентифікація системної залежності при $- SI$

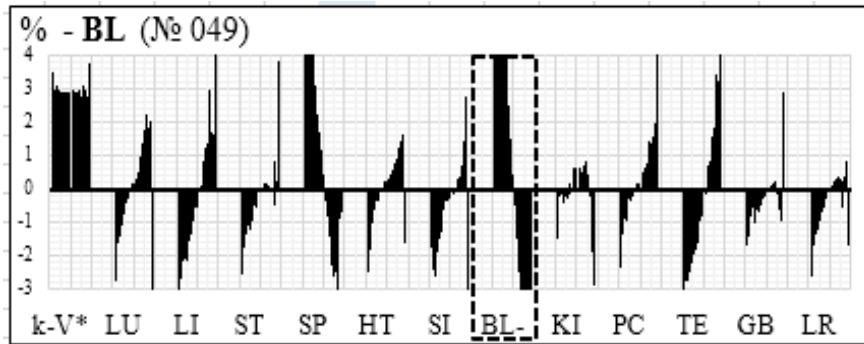
СИСТЕМНА ЗАЛЕЖНІСТЬ ВІД СПРЯМОВАНОЇ АКТИВНОСТІ BL, мал. 4.2.7



Ідентифікація систем при $\pm BL$ неможлива

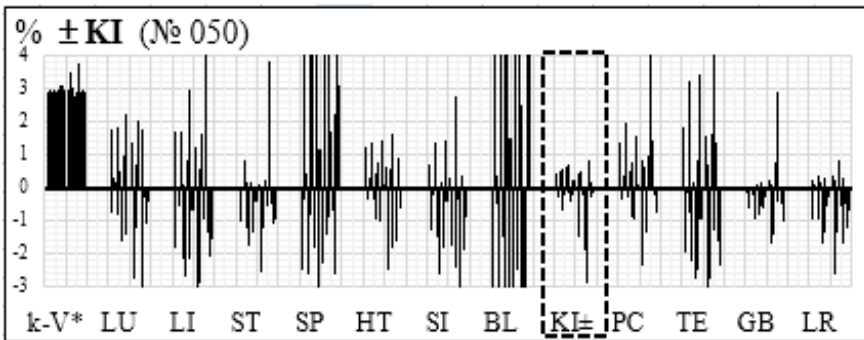


Ідентифікація системної залежності при $+BL$

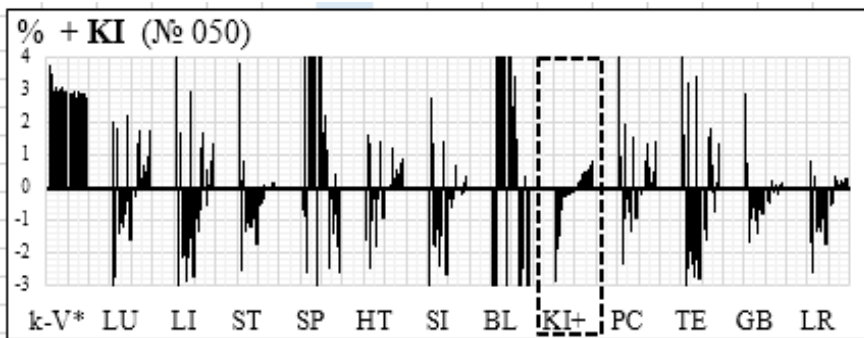


Ідентифікація системної залежності при **- BL**

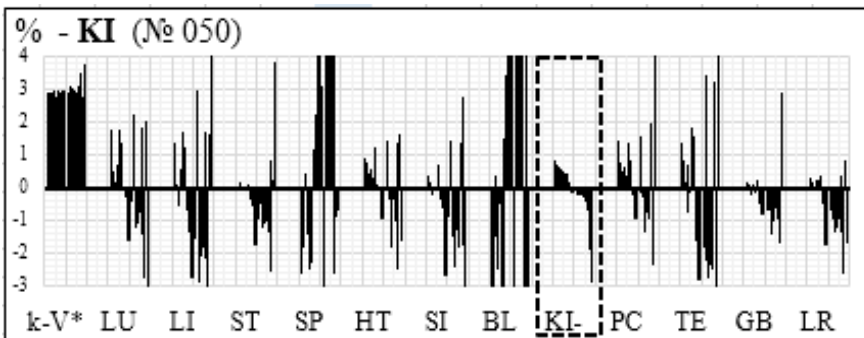
СИСТЕМНА ЗАЛЕЖНІСТЬ ВІД СПРЯМОВАНОЇ АКТИВНОСТІ KI, мал. 4.2.8



Ідентифікація систем при **± KI** неможлива

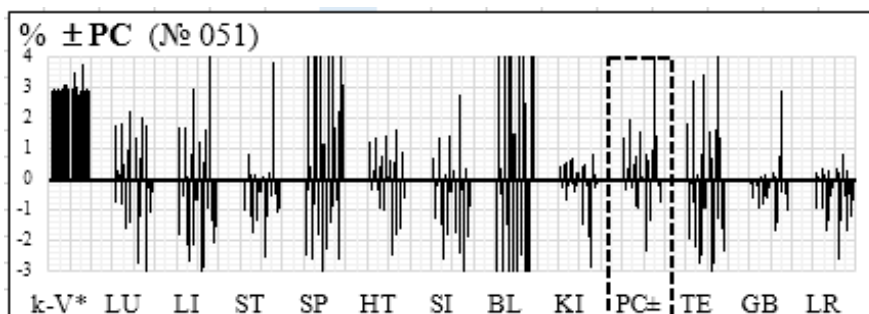


Ідентифікація системної залежності при **+ KI**

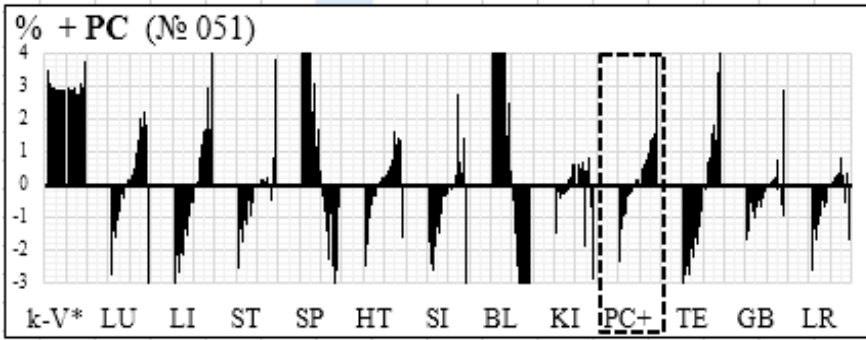


Ідентифікація системної залежності при **- KI**

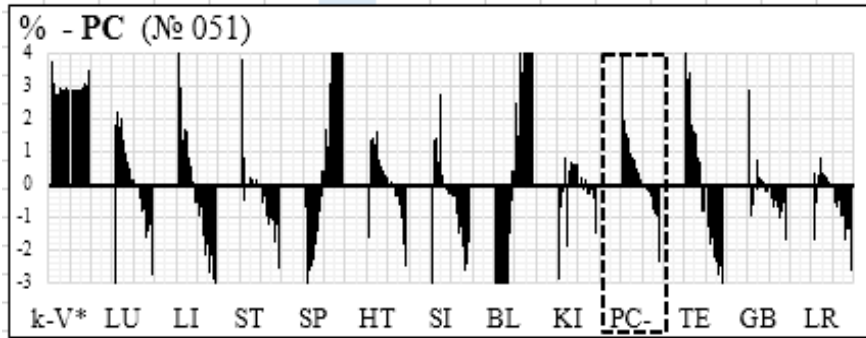
СИСТЕМНА ЗАЛЕЖНІСТЬ ВІД СПРЯМОВАНОЇ АКТИВНОСТІ PC, мал. 4.2.9



Ідентифікація систем при **± PC** неможлива

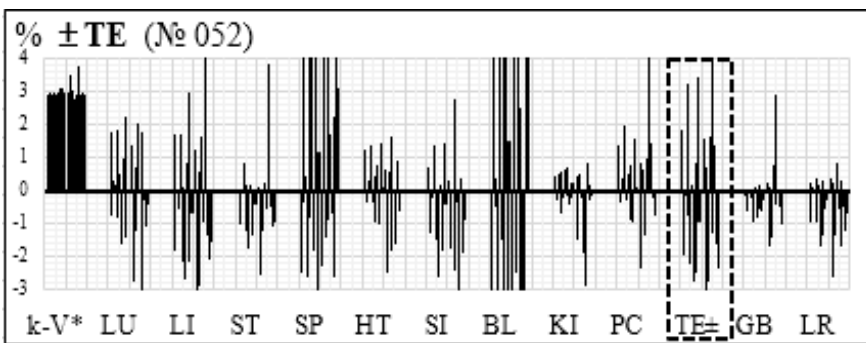


Ідентифікація системної залежності при + PC

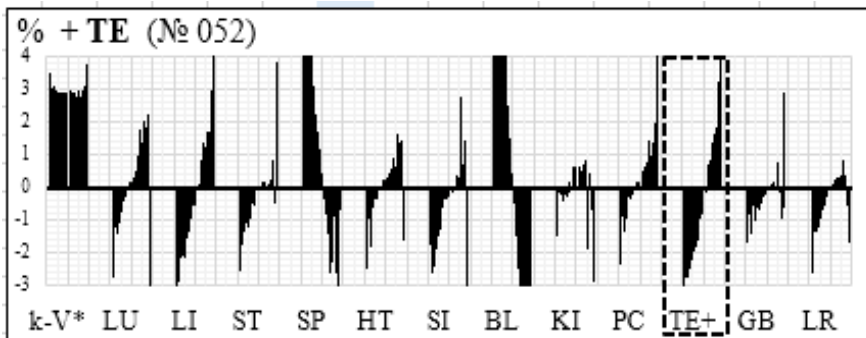


Ідентифікація системної залежності при - PC

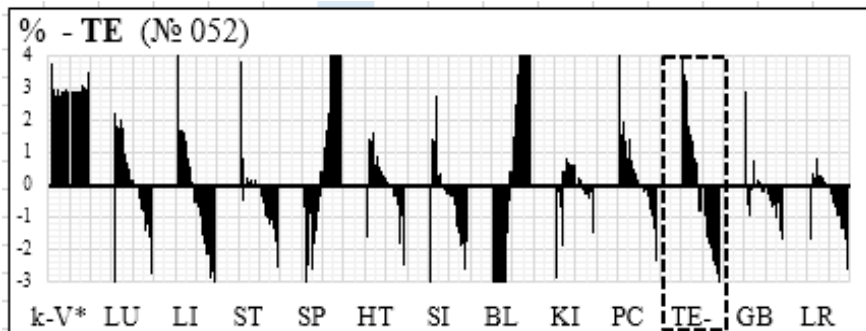
СИСТЕМНА ЗАЛЕЖНІСТЬ ВІД СПРЯМОВАНОЇ АКТИВНОСТІ TE, мал. 4.2.10



Ідентифікація систем при ± TE неможлива

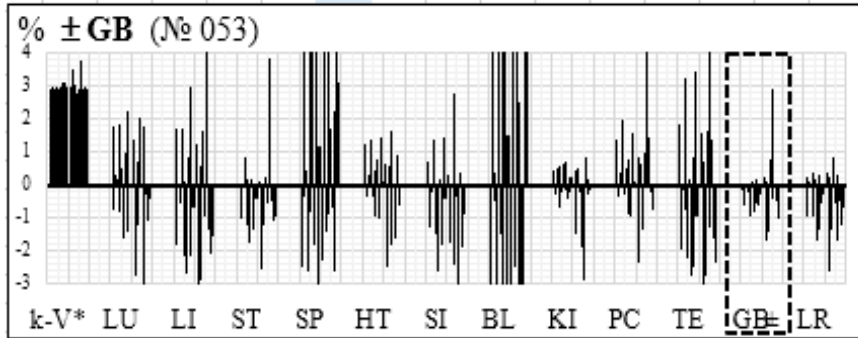


Ідентифікація системної залежності при + TE

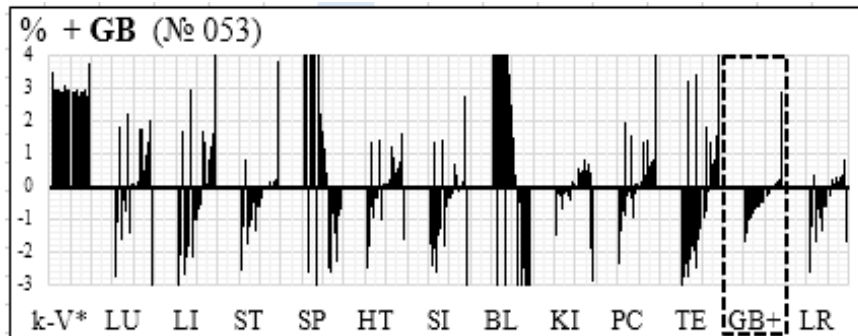


Ідентифікація системної залежності при - TE

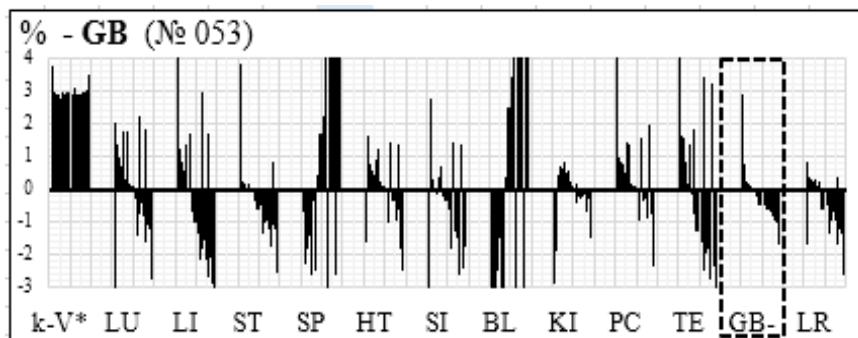
СИСТЕМНА ЗАЛЕЖНІСТЬ ВІД СПРЯМОВАНОЇ АКТИВНОСТІ GB, мал. 4.2.11



Ідентифікація систем при \pm GB неможлива

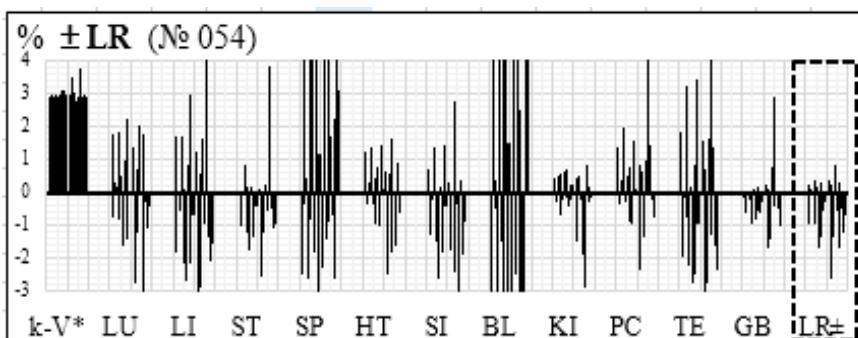


Ідентифікація системної залежності при + GB

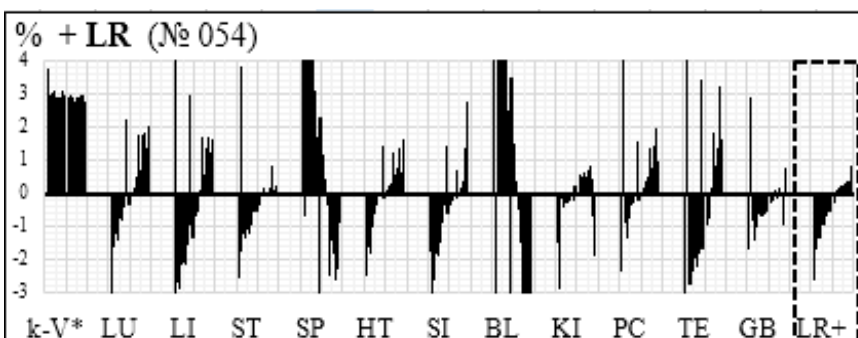


Ідентифікація системної залежності при - GB

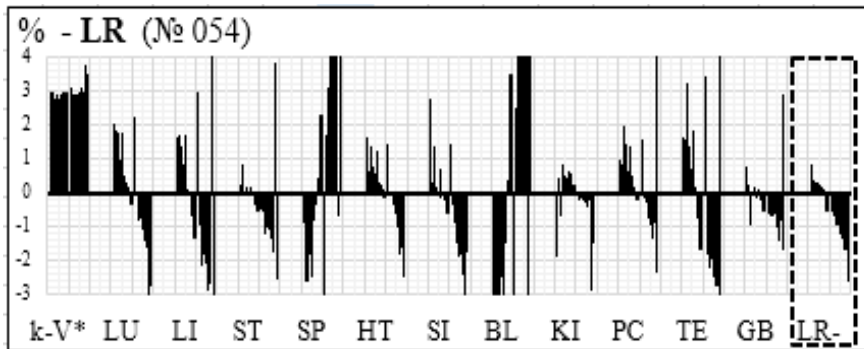
СИСТЕМНА ЗАЛЕЖНІСТЬ ВІД СПРЯМОВАНОЇ АКТИВНОСТІ LR, мал. 4.2.12



Ідентифікація систем при \pm LR неможлива



Ідентифікація системної залежності при + LR



Ідентифікація системної залежності при – LR

Висновки

Методологія ідентифікації традиційних "акупунктурних каналів" (функціо-нальних систем) не має світових аналогів. Вперше за 5000-літню історію голкотерапії доказана їх біофізична реальність. Наведені матеріали переводять гіпотетичну Чжень-цзю терапію в біофізично обумовлену доказову медицину...



До уваги фахівців (школи проф. В.Г.Макаца) доводиться інформація, що має безпосереднє відношення до невідомої раніше "Функціонально-вегетативної системи" ((D-8.6-(M)-8.7-D))...

1/1-w	=ЕСЛИ(АК20>11,25;АК20-11,25;ЕСЛИ(АК20<11,01;АК20-11,01;"0"))
1/1-m	=ЕСЛИ(АК20>10,93;АК20-10,93;ЕСЛИ(АК20<10,69;АК20-10,69;"0"))
1/2-w	=ЕСЛИ(АТ20>7,19;АТ20-7,19;ЕСЛИ(АТ20<7,09;АТ20-7,09;"0"))
1/2-m	=ЕСЛИ(АТ20>6,94;АТ20-6,94;ЕСЛИ(АТ20<6,88;АТ20-6,88;"0"))
1/3-w	=ЕСЛИ(АР20>8,25;АР20-8,25;ЕСЛИ(АР20<8,13;АР20-8,13;"0"))
1/3-m	=ЕСЛИ(АР20>8,11;АР20-8,11;ЕСЛИ(АР20<8,03;АР20-8,03;"0"))
2/1-w	=ЕСЛИ(АЈ20>10,95;АЈ20-10,95;ЕСЛИ(АЈ20<10,77;АЈ20-10,77;"0"))
2/1-m	=ЕСЛИ(АЈ20>10,46;АЈ20-10,46;ЕСЛИ(АЈ20<10,16;АЈ20-10,16;"0"))
2/2-w	=ЕСЛИ(АУ20>7,91;АУ20-7,92;ЕСЛИ(АУ20<7,79;АУ20-7,79;"0"))
2/2-m	=ЕСЛИ(АУ20>7,49;АУ20-7,49;ЕСЛИ(АУ20<7,43;АУ20-7,43;"0"))
2/3-w	=ЕСЛИ(АС20>8,11;АС20-8,11;ЕСЛИ(АС20<7,99;АС20-7,99;"0"))
2/3-m	=ЕСЛИ(АС20>8,79;АС20-8,79;ЕСЛИ(АС20<7,71;АС20-7,71;"0"))
3/1-w	=ЕСЛИ(АН20>8,68;АН20-8,68;ЕСЛИ(АН20<8,56;АН20-8,56;"0"))
3/1-m	=ЕСЛИ(АН20>9,32;АН20-9,32;ЕСЛИ(АН20<9,22;АН20-9,22;"0"))
3/2-w	=ЕСЛИ(АМ20>7,23;АМ20-7,23;ЕСЛИ(АМ20<7,13;АМ20-7,13;"0"))
3/2-m	=ЕСЛИ(АМ20>7,03;АМ20-7,03;ЕСЛИ(АМ20<6,93;АМ20-6,93;"0"))
3/3-w	=ЕСЛИ(АЛ20>7,78;АЛ20-7,78;ЕСЛИ(АЛ20<7,64;АЛ20-7,64;"0"))
3/3-m	=ЕСЛИ(АЛ20>7,98;АЛ20-7,98;ЕСЛИ(АЛ20<7,8;АЛ20-7,8;"0"))
4/1-w	=ЕСЛИ(АО20>8,2;АО20-8,2;ЕСЛИ(АО20<8,08;АО20-8,08;"0"))
4/1-m	=ЕСЛИ(АО20>8,36;АО20-8,36;ЕСЛИ(АО20<8,26;АО20-8,26;"0"))
4/2-w	=ЕСЛИ(АР20>7,39;АР20-7,39;ЕСЛИ(АР20<7,29;АР20-7,29;"0"))
4/2-m	=ЕСЛИ(АР20>7,39;АР20-7,39;ЕСЛИ(АР20<7,33;АР20-7,33;"0"))
4/3-w	=ЕСЛИ(АQ20>7,83;АQ20-7,83;ЕСЛИ(АQ20<7,73;АQ20-7,73;"0"))
4/3-m	=ЕСЛИ(АQ20>7,93;АQ20-7,93;ЕСЛИ(АQ20<7,85;АQ20-7,85;"0"))

Використана література

3. Макац В., Макац Є. Невідома китайська голкотерапія (реальність, помилки, проблеми) Том I // Україна, Вінниця: видавництво "Наукова ініціатива", редакція Нілан-ЛТД, 2016, 276 с. ISBN 978-966-2932-80-5
Makats V., Makats E. Unknown Chinese acupuncture (reality, errors, problems). v Vol. i // Ukraine, Vinnytsia: "Naukova initsiatyva", editorial office "Nilan LTD", 2016, 276 P. ISBN 978-966-2932-80-5
4. Макац В., Макац Є. Невідома китайська голкотерапія (біофізичний атлас системної залежності) Том II // Україна, Вінниця: видавництво "Наукова ініціатива", редакція Нілан-ЛТД, 2016, 204 с. ISBN 978-966-2932-80-5
Makats V., Makats E. Unknown Chinese acupuncture (biophysical atlas of systemic dependency). Vol. II // Ukraine, Vinnytsia: "Naukova initsiatyva", editorial office "Nilan LTD", 2016, 204P. ISBN 978-966-2932-80-5
5. Макац В., Нагайчук В., Макац Є. Невідома китайська голкотерапія (проблеми функціональної вегетології) Том III // Україна, Вінниця: видавництво "Наукова ініціатива", редакція Нілан-ЛТД, 2017, 204С. ISBN 978-966-2932-80-5
Makats V., Nahaychuk V., Makats E. Unknown Chinese acupuncture (problems of functional vegetales). Vol. III // Ukraine, Vinnytsia: "Naukova initsiatyva", editorial office "Nilan LTD", 2017, 204P. ISBN 978-966-2932-80-5
6. Макац В., Нагайчук В., Макац Є., Єрмішев О. Невідома китайська голкотерапія (проблеми вегетативного патогенезу) Том IV // Україна, Вінниця: видавництво "Наукова ініціатива", редакція Нілан-ЛТД, 2017, 286С. ISBN 978-966-2932-80-5
Makats V., Nahaychuk V., Makats E., Yermyshev O. Unknown Chinese acupuncture (problems of vegetative pathogenesis). Vol. IV // Vinnytsia: "Naukova initsiatyva", editorial office "Nilan LTD", 2017, 286P. ISBN 978-966-2932-80-5
5. Макац В., Макац Є., Макац Д., Макац Д. Основи функціональної вегетології (Невідома китайська голкотерапія). Том V. Вінниця Видавництво "Наукова ініціатива" Редакція Нілан ЛТД, 2018, - 152 С., ISBN 978-617-7706-69-3
Makats V., Makats E., Makats D., Makats D. Bases of functional vegetology (unknown chinese acupuncture). Vol.V - Vinnytsia: "Naukova Initsiatyva", Editorial office "Nilan Ltd.", 2018. – 152 P, ISBN 978-617-7706-69-3
6. В.Г.Макац, М.В. Курик, В.Г. Петрук, В.І.Нагайчук, О.В. Єрмішев Основи функціонально-екологічної експертизи (невідома вегетологія). Том VI.– Вінниця: "Наукова ініціатива", Редакція Нілан-ЛТД, 2018, – 128 С. ISBN 978-617-7706-69-3
V.G. Makats, M.V. Kurik, V.G. Petruk, V.I. Nahaychuk, A.V. Yermyshev M94 Bases of functional-ecological examination (unknown vegetology). Vol.VI – Vinnytsia: "Naukova Initsiatyva", Editorial office "Nilan Ltd.", 2018. – 128 P. ISBN 978-617-7706-69-3
7. Макац В., Макац Д., Макац Є., Макац Д. Функціональна вегетологія (біофізичний атлас Чжень-цзю терапії) Том VII/ – Вінниця: "Наукова ініціатива", Редакція Нілан-ЛТД, 2019, – 278 С. ISBN 978-617-949-208-1
Makats V., Makats E., Makats D., Makats D. Functional vegetology (biophysical atlas Zhen-tzyu therapy). Volume VII/ – Vinnytsia: "Naukova Initsiatyva", Editorial office "Nilan Ltd.", 2019. – 278 P. ISBN 978-617-949-208-1
8. Макац В.Г., Макац Є.Ф. Вегетативна Чжень-цзю терапія (проблеми функціональної вегетології). – Україна, Видавництво "Наукова ініціатива", Нілан-ЛТД, 2021, 220 С. ISBN 978-966-949-550-1
9. Макац Д.Д., Макац О.Д. Біофізика функціонально-вегетативного патогенезу (під редакцією експерта вищого рівня НАН України, д.м.н, професора В.Г.Макац). – Україна, Вінниця, "Наукова ініціатива", видавництво Тов. ТВОРИ, 2021, 138С. ISBN 978-966-949-607-2

10. Макац В.Г. Невідома Чжень-цзю терапія (проблеми функціональної вегетології). – Україна, Видавництво "Наукова ініціатива", Нілан-ЛТД, 2021, 340С. ISBN 978-966-949-725-3

Makats V.G. Unknown Chinese acupuncture (problems of functional vegetology). – Ukraine, Publishing House "Scientific Initiative", Nilan-LTD, 2021, 340C. ISBN 978-966-949-725-3

